

1) La Figura 1 mostra un disco in moto 3D su di un piano orizzontale. Il disco, che può essere ritenuto di spessore trascurabile, è costituito di materiale omogeneo, ha raggio r , massa m e tensore d'inerzia baricentrico ${}^L\mathbb{I}_G = \text{diag}(I_x, I_y, I_z)$, dove $I_x = I_z = (mr^2)/4$ ed $I_y = (mr^2)/2$ sono i momenti d'inerzia rispetto alla terna locale $\{L\}$ baricentrica e principale d'inerzia (da definire).

i) Impiegando una parametrizzazione di $SO(3)$ di $\{L\}$ consistente con gli angoli ψ , θ e φ mostrati in Figura 1 e con la definizione dei momenti principali d'inerzia, si determini la matrice di rotazione ${}^S\mathbf{R}_L$ fra il frame inerziale $\{S\}$ e quello locale $\{L\}$. ii) Si scriva poi l'espressione della velocità angolare ω_{sl} , sia in componenti $\{S\}$ che $\{L\}$ in f.ne degli angoli e delle loro derivate. iii) Si determini poi una parametrizzazione della traslazione del disco. iv) Nell'ipotesi che il disco sia permanentemente in contatto con il piano nel punto C in cui *si può avere slittamento relativo*, si scrivano le equazioni di vincolo e se ne discuta l'integrabilità. v) Nell'ipotesi che il disco, ancora in contatto col piano, abbia in C stavolta *moto di rotolamento senza slittamento*, si scrivano le equazioni di vincolo e se si riportino in forma Pfaffiana.

♣ Da questo punto in poi si consideri soltanto la condizione di rotolamento senza slittamento ♣

vi) Si impostino le equazioni di Lagrange per la dinamica 3D del disco.

vii) Si scriva l'espressione dell'accelerazione \mathbf{a}_G del baricentro del disco.

viii) Si scriva l'espressione dell'accelerazione angolare $\dot{\omega}_{sl}$ del disco.

ix) Si impostino le equazioni di Newton-Eulero per la dinamica 3D del disco.

x) Si indichi un metodo per il calcolo delle reazioni vincolari che il piano esercita sul disco in funzione del tempo.

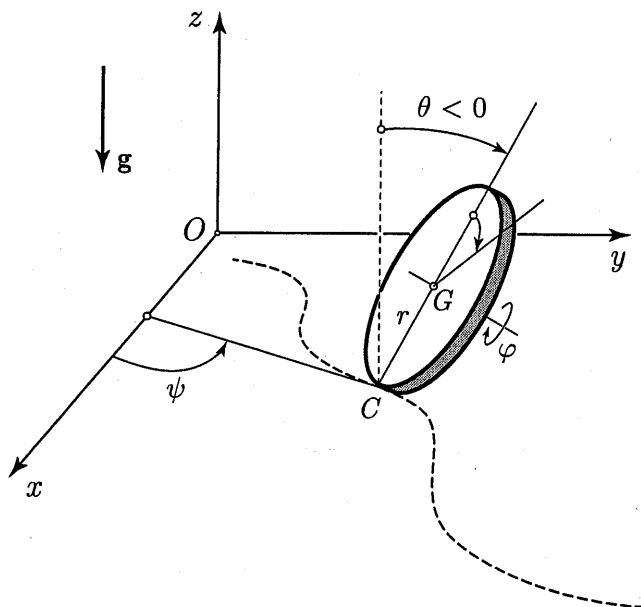
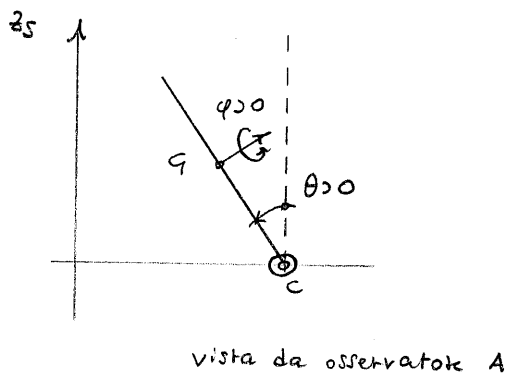
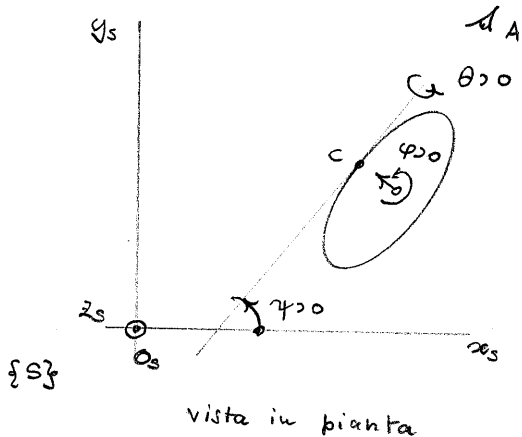
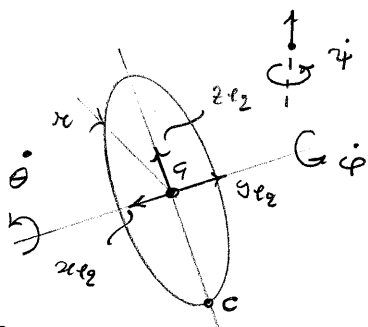
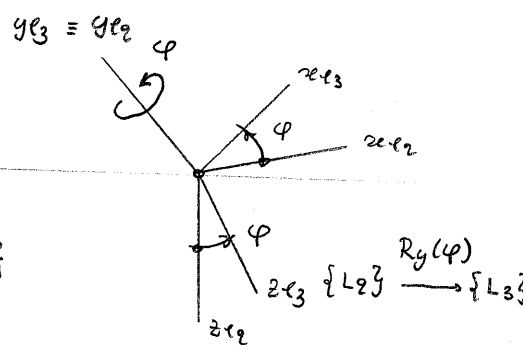
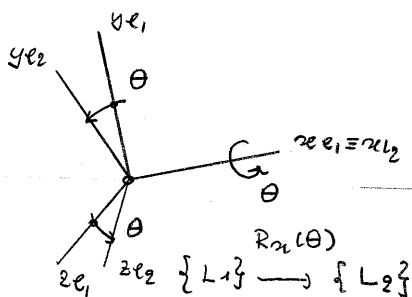
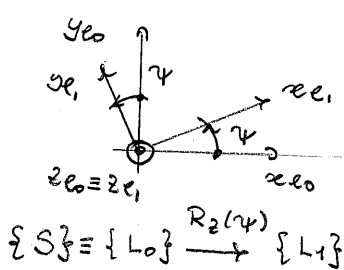


Figura 1: Disco in moto 3D su piano orizzontale.

19 Giugno 2013



Introduciamo parametrizzazione di $SO(3)$ consistente con def. ri propr. inerziali del disco ed angoli introdotti. $\{S\}$ frame inerziale (fisso) $\equiv \{L_0\}$



$\{L_3\}$ non solidale al disco, che gli ruota sotto' attorno all' asse $y_{e2} \equiv y_{e3}$

Dunque se si parte dalla condizione in cui $\varphi = \theta = \psi = 0$ con il disco 'immerso' nel piano $x_{e3} z_{e3}$, si effettua la sequenza: $R_2(\varphi)$ (φ imbardata) con cui si specifica direzione di marcia con disco ancora verticale, poi $R_2(\theta)$ (θ angolo di 'piega') con cui si tiene conto che il disco può inclinarsi come per adagiarsi sul piano, poi $R_y(\varphi)$ con cui si specifica angolo di rotazione φ attorno al suo asse di simmetria.

Dunque la sequenza salta e' una ZXY. Si noti che con tale scelta il frame solido al disco $\{L_3\}$ ha assi x_{e3} e z_{e3} diametrali e y_{e3} coincidente con asse del disco, il che risulta conveniente con definizione che $I_G = \text{diag}(I_x, I_y, I_z)$ con $I_x = I_z = mr^2/4$ e $I_y = mr^2/2$. Definiamo $\{L_0\} \equiv \{S\}$ e $\{L_3\} \equiv \{L\}$

La matrice ${}^S R_e = {}^S R_e(\varphi, \theta, \varphi) = \underbrace{{}^{e_0} R_{e_1}(\varphi)}_{R_z(\varphi)} \underbrace{{}^{e_1} R_{e_2}(\theta)}_{R_x(\theta)} \underbrace{{}^{e_2} R_{e_3}(\varphi)}_{R_y(\varphi)}$

risultando:

$${}^S R_e(\varphi, \theta, \varphi) = \begin{pmatrix} c_\varphi c_\varphi - s_\theta s_\varphi s_\varphi & -c_\theta s_\varphi & c_\varphi s_\theta + c_\varphi s_\theta s_\varphi \\ c_\varphi s_\theta s_\varphi + c_\varphi s_\varphi & c_\theta c_\varphi & -c_\varphi c_\varphi s_\theta + s_\varphi s_\varphi \\ -c_\theta s_\varphi & s_\theta & c_\theta c_\varphi \end{pmatrix}$$

Quanto appena scritto risponde al punto c)

La velocità angolare del disco rispetto al piano π , in forma invariante, espressa da:

(1) $\underline{\omega}_{se} = \dot{\psi} \underline{k}_{e0} + \dot{\theta} \underline{i}_{e1} + \dot{\varphi} \underline{j}_{e2}$ ovvero anche, data la sequenza delle rotazioni e quindi che $\underline{k}_{e0} \equiv \underline{k}_{e1}$, $\underline{i}_{e1} \equiv \underline{i}_{e2}$ e $\underline{j}_{e2} \equiv \underline{j}_{e3}$, a

(2) $\underline{\omega}_{se} = \dot{\psi} \underline{k}_{e1} + \dot{\theta} \underline{i}_{e2} + \dot{\varphi} \underline{j}_{e3}$

Per le componenti $^s \omega_{se} = ^{e0} \omega_{se}$ posso scegliere la versione (1) ottenendo

$$^{e0} \omega_{se} = [\underline{\omega}_{se}]_{e0} = \dot{\psi} \begin{matrix} e0 \\ \underline{k}_{e0} \end{matrix} + \dot{\theta} \underbrace{\begin{matrix} e0 & e1 \\ R_{e1} & \underline{i}_{e1} \end{matrix}}_{R_z(\psi) \begin{Bmatrix} 1 \\ 0 \\ 0 \end{Bmatrix}} + \dot{\varphi} \underbrace{\begin{matrix} e0 & e1 & e2 \\ R_{e1} & R_{e2} & \underline{j}_{e2} \end{matrix}}_{R_z(\psi) R_x(\theta) \begin{Bmatrix} 0 \\ 1 \\ 0 \end{Bmatrix}}$$

concedo:

$$^{e0} \omega_{se} = \begin{pmatrix} 0 & \cos \psi & -\cos \theta \sin \psi \\ 0 & \sin \psi & \cos \theta \cos \psi \\ 1 & 0 & \sin \theta \end{pmatrix} \begin{pmatrix} \dot{\psi} \\ \dot{\theta} \\ \dot{\varphi} \end{pmatrix} \stackrel{\Delta}{=} \begin{matrix} s \\ \equiv \\ e0 \end{matrix} J_{se}(\psi, \theta) \underline{\dot{\varphi}}$$

con $\underline{\varphi} \stackrel{\Delta}{=} [\psi \ \theta \ \varphi]^T$

Per le componenti $^e \omega_{se} = ^{e3} \omega_{se}$ posso scegliere la versione (2) ottenendo

$$^{e3} \omega_{se} = [\underline{\omega}_{se}]_{e3} = \dot{\psi} \underbrace{\begin{matrix} e3 & e2 & e1 \\ R_{e2} & R_{e1} & \underline{k}_{e1} \end{matrix}}_{R_y(-\varphi) R_x(-\theta) \begin{Bmatrix} 0 \\ 0 \\ 1 \end{Bmatrix}} + \dot{\theta} \underbrace{\begin{matrix} e3 & e2 \\ R_{e2} & \underline{i}_{e2} \end{matrix}}_{R_y(-\varphi) \begin{Bmatrix} 1 \\ 0 \\ 0 \end{Bmatrix}} + \dot{\varphi} \underbrace{\begin{matrix} e3 \\ \underline{j}_{e3} \end{matrix}}_{\begin{Bmatrix} 0 \\ 1 \\ 0 \end{Bmatrix}}$$

concedo:

$$^{e3} \omega_{se} = \begin{pmatrix} -\cos \theta \sin \varphi & \cos \varphi & 0 \\ \sin \theta & 0 & 1 \\ \cos \theta \cos \varphi & \sin \varphi & 0 \end{pmatrix} \begin{pmatrix} \dot{\psi} \\ \dot{\theta} \\ \dot{\varphi} \end{pmatrix} \stackrel{\Delta}{=} \begin{matrix} e \\ \equiv \\ e3 \end{matrix} J_{se}(\theta, \varphi) \underline{\dot{\varphi}}$$

Quanto appena scritto risponde al punto c')

Il centro di massa del disco G può essere parametrizzato definendo il vettore

posizione $^s \underline{O}_2 = \underline{p}_G$ e prendendone le componenti in $\{S\}$, ossia

$$[\underline{p}_G]_s = ^s p_G = [x \ y \ z]^T \quad \text{Dunque} \quad \underline{p}_G = x \underline{i}_{e0} + y \underline{j}_{e0} + z \underline{k}_{e0}$$

La condizione di vincolo sul solo contatto fra disco e piano in un punto del disco C risulta nella semplice richiesta che

(3) $\underline{v}_C \cdot \underline{e}_0 = 0$ onia che può succedere tutto purché la \underline{v}_C del punto di contatto appartenga al piano; in altre parole il disco nel punto di contatto col piano non può né compenetrarlo né staccarvisi.

Dato che C deve essere il punto di contatto geometrico fra disco e piano, indipendentemente dalla rotazione φ del disco, è comodo esprimere la posizione da G in componenti da $\{L\}$, onia $[\underline{G}_C]_{e_2} = {}^{L_2}G_C = [0 \ 0 \ -r]$

La velocità di $C \in \{L\}$ risulta da f.f. cinematica:

$$\underline{v}_C = \underline{v}_G + \underline{\omega}_S \times \underline{G}_C \quad \rightarrow \text{in compou. } \{S\} \equiv \{L_0\} \rightarrow$$

$${}^{L_0}v_C = {}^{L_0}v_G + \underline{\omega}_S \times [{}^{L_0}R_{e_2}(\varphi, \theta) {}^{L_2}G_C]$$

$$\begin{Bmatrix} \dot{z} \\ \dot{y} \\ \dot{x} \end{Bmatrix} [{}^{L_0}J_{SC}(\varphi, \theta) \underline{\dot{\varphi}}]^V \quad R_Z(\varphi) R_{Xc}(\theta) \begin{Bmatrix} 0 \\ 0 \\ -r \end{Bmatrix}$$

Dunque si ha:

$${}^{L_0}v_C = \begin{Bmatrix} \dot{z} - r [\cos \varphi (\dot{\varphi} + \dot{\varphi} \sin \theta) + \dot{\theta} \cos \theta \sin \varphi] \\ \dot{y} + r [\dot{\theta} \cos \theta \cos \varphi - \sin \varphi (\dot{\varphi} + \dot{\varphi} \sin \theta)] \\ \dot{x} + r \dot{\theta} \sin \theta \end{Bmatrix}$$

La condizione (3) risulta in ${}^{L_0}v_C^T \begin{bmatrix} 0 \\ 0 \\ 1 \end{bmatrix} = 0$, onia ${}^{L_0}v_C [13] = 0$

ovvero

$$\dot{z} + r \sin \theta \dot{\theta} = 0 \iff \boxed{\dot{z} = -r \sin \theta \dot{\theta}}$$

Questo vincolo in forma differenziale risulta banalmente la derivata temporale di $z = r \cos \theta$, in fatti $\dot{z} = -r \sin \theta \dot{\theta}$, e prescrive che il baricentro del disco deve trovarsi ad una altezza dal piano (per starvi in contatto!) legata al raggio r ed alla inclinazione θ . (vedi vista da osservatore A, pag. 1)

Questo risponde al quesito al punto (iv).

Se adesso il disco è vincolato a non strisciare nel contatto con il piano nel punto C, allora, oltre al vincolo precedente, si deve imporre anche che le componenti di \underline{n}_c sul piano tangente (dunque lungo \underline{e}_θ e $\sqrt{\underline{e}_\theta}$) siano nulle. Perciò

$$\underline{n}_c = \underline{0} \iff \begin{matrix} \underline{e}_\theta \\ \underline{n}_c \end{matrix} = \begin{Bmatrix} 0 \\ 0 \\ 0 \end{Bmatrix}$$

ovvia:

$$\begin{cases} \dot{x} - r [\cos \psi (\dot{\varphi} + \dot{\psi} \sin \theta) + \cos \theta \sin \psi \dot{\theta}] = 0 \\ \dot{y} + r [-\sin \psi (\dot{\varphi} + \dot{\psi} \sin \theta) + \cos \theta \cos \psi \dot{\theta}] = 0 \\ \dot{z} + r \dot{\theta} \sin \theta = 0 \end{cases}$$

Introducendo la config. $q = [r \ \psi \ z \ \psi \ \theta \ \varphi]^T$; $\dot{q} = [\dot{x} \ \dot{y} \ \dot{z} \ \dot{\psi} \ \dot{\theta} \ \dot{\varphi}]^T$ si ha:

$$\begin{cases} \dot{x} - r \cos \psi \dot{\varphi} - r \cos \psi \sin \theta \dot{\psi} - r \cos \theta \sin \psi \dot{\theta} = 0 \\ \dot{y} - r \sin \psi \dot{\varphi} - r \sin \psi \sin \theta \dot{\psi} + r \cos \theta \cos \psi \dot{\theta} = 0 \\ \dot{z} + r \sin \theta \dot{\theta} = 0 \end{cases}$$

Dunque in forma Pfaffiana:

$$\underbrace{\begin{pmatrix} 1 & 0 & 0 & -r \cos \psi \sin \theta & -r \cos \theta \sin \psi & -r \cos \psi \\ 0 & 1 & 0 & -r \sin \psi \sin \theta & r \cos \theta \cos \psi & -r \sin \psi \\ 0 & 0 & 1 & 0 & r \sin \theta & 0 \end{pmatrix}}_{A(q)} \underbrace{\begin{pmatrix} \dot{x} \\ \dot{y} \\ \dot{z} \\ \dot{\psi} \\ \dot{\theta} \\ \dot{\varphi} \end{pmatrix}}_{\dot{q}} = \underbrace{\begin{pmatrix} 0 \\ 0 \\ 0 \end{pmatrix}}_{0}$$

Questo risponde al quesito punto v)

In ipotesi punto v) la dinamica Lagrangiana risulta da:

$$T(q, \dot{q}) = \underbrace{\frac{1}{2} m (\dot{x}^2 + \dot{y}^2 + \dot{z}^2)}_{T_{trasl}} + \underbrace{\frac{1}{2} \omega^T \Pi_q \omega}_{T_{rot}}$$

$${}^e \Pi_q = {}^{e_3} I_G = \begin{Bmatrix} I_x & 0 & 0 \\ 0 & I_y & 0 \\ 0 & 0 & I_z \end{Bmatrix}$$

Allora:

$$T_{rot} = \frac{1}{2} [\dot{\psi} \ \dot{\theta} \ \dot{\varphi}]^T \overset{e}{J}_{se}^T(\theta, \varphi) \overset{e}{\Pi}_G \overset{e}{J}_{se}(\theta, \varphi) \begin{bmatrix} \dot{\psi} \\ \dot{\theta} \\ \dot{\varphi} \end{bmatrix}$$

$$\text{con } \overset{e}{J}_{se}^T(\theta, \varphi) \overset{e}{\Pi}_G \overset{e}{J}_{se}(\theta, \varphi) = \begin{cases} \frac{1}{2} [I_x + I_y + (I_x - I_y) \cos 2\theta] & 0 & I_y \sin \theta \\ & 0 & I_{xz} & 0 \\ & I_y \sin \theta & 0 & I_y \end{cases}$$

Quindi la matrice $B(\underline{q})$ tale che $T(\underline{q}, \dot{\underline{q}}) = \frac{1}{2} \dot{\underline{q}}^T B(\underline{q}) \dot{\underline{q}}$ è data da:

$$B(\underline{q}) = \left\{ \begin{array}{ccc|ccc} m & 0 & 0 & & & \\ 0 & m & 0 & & & \\ 0 & 0 & m & & & \\ \hline & & & \frac{1}{2} [I_x + I_y + (I_x - I_y) \cos 2\theta] & 0 & I_y \sin \theta \\ & & & 0 & I_{xz} & 0 \\ & & & I_y \sin \theta & 0 & I_y \end{array} \right\}$$

da cui con Christoffel calcolo matrice $C(\underline{q}, \dot{\underline{q}})$ con procedure standard (vedi appunti)

$$\Rightarrow U(\underline{q}) = mgz \quad \rightarrow \text{da cui } \underline{G}(\underline{q}) = \left[\frac{\partial U}{\partial \underline{q}} \right]^T = \begin{pmatrix} 0 \\ 0 \\ mg \\ 0 \\ 0 \\ 0 \end{pmatrix}$$

dato che sto usando \underline{q} che sono diff dipendenti allora posso usare eq. di dinamica vincolate ossia

$$\begin{cases} B(\underline{q}) \ddot{\underline{q}} + C(\underline{q}, \dot{\underline{q}}) \dot{\underline{q}} + \underline{G}(\underline{q}) = A^T(\underline{q}) \underline{\lambda} + \underline{\tau} \\ A(\underline{q}) \dot{\underline{q}} = \underline{0} \end{cases} \quad \text{3 eq. in } \underline{\lambda} \in \mathbb{R}^3; \underline{q} \in \mathbb{R}^6$$

Nel nostro caso, dato che le forze vincolari nel contatto e scaturiscono da $A^T(\underline{q}) \underline{\lambda}$ e la gravità è in $\underline{G}(\underline{q})$, non vi sono forze attive non conservative ulteriori, quindi $\underline{\tau} \equiv \underline{0}$.

Questo risponde al punto vi)

$$\overset{e_0}{[a_G]} = \overset{e_0}{a_G} = [z \ \ddot{z}]^T \text{ banalmente, questo è punto vii)}$$

Accelerazioni angolari del disco $\underline{\dot{\omega}}_S$ calcolate da (*)

$$\underline{\dot{\omega}}_S = \dot{\gamma} \underline{k}_{e0} + \dot{\theta} \underline{i}_{e1} + \dot{\theta} \frac{d\underline{i}_{e1}}{dt} + \dot{\varphi} \underline{j}_{e2} + \dot{\varphi} \frac{d\underline{j}_{e2}}{dt}$$

da formule di Poisson:

$$\frac{d\underline{i}_{e1}}{dt} = \underline{\omega}_S \underline{e}_1 \times \underline{i}_{e1} \quad ; \quad \frac{d\underline{j}_{e2}}{dt} = \underline{\omega}_S \underline{e}_2 \times \underline{j}_{e2} ;$$

\downarrow \downarrow
 $\dot{\gamma} \underline{k}_{e0}$ $(\dot{\gamma} \underline{k}_{e0} + \dot{\theta} \underline{i}_{e1})$

Dunque ad esempio in $\{S\}$

$$[\underline{\dot{\omega}}_S]_S = \ddot{\gamma} \begin{bmatrix} 0 \\ 0 \\ 1 \end{bmatrix} + \ddot{\theta} \begin{bmatrix} \cos \gamma \\ \sin \gamma \\ 0 \end{bmatrix} + \ddot{\varphi} \begin{bmatrix} -\cos \theta \sin \gamma \\ \cos \theta \cos \gamma \\ \sin \theta \end{bmatrix} +$$
$$+ \dot{\theta} \left(\dot{\gamma} \begin{bmatrix} 0 \\ 0 \\ 1 \end{bmatrix} \times \begin{bmatrix} \cos \gamma \\ \sin \gamma \\ 0 \end{bmatrix} \right) + \dot{\varphi} \left(\left[\dot{\gamma} \begin{bmatrix} 0 \\ 0 \\ 1 \end{bmatrix} + \dot{\theta} \begin{bmatrix} \cos \gamma \\ \sin \gamma \\ 0 \end{bmatrix} \right] \times \begin{bmatrix} -\cos \theta \sin \gamma \\ \cos \theta \cos \gamma \\ \sin \theta \end{bmatrix} \right)$$

etc...

questo risponde al punto viii)

Dato che il corpo \mathcal{C} è inerzialmente simmetrico rispetto all'asse $y_{e2} \equiv y_{e3}$, si possono usare le eq. di Newton-Eulero nella forma:

$$\begin{cases} {}^{e_2} \mathbb{I}_G \underline{\dot{\omega}}_S + \underline{\omega}_S \times {}^{e_2} \mathbb{I}_G \underline{\omega}_S = {}^{e_2} M_G \\ m {}^{e_2} \underline{\dot{v}}_G + \underline{\omega}_S \times (m {}^{e_2} \underline{v}_G) = {}^{e_2} F \end{cases} \quad (*)$$

con $\underline{\omega}_S$ derivata $\frac{d(\)}{dt}$ di $\underline{\omega}_S$, dunque derivata delle componenti in $\{L_2\}$

La regola è sempre quella della derivata totale come derivata relativa + derivata di trascinamento

$$\frac{d(\)}{dt} = {}^{e_2} \frac{d(\)}{dt} + \underline{\omega}_S \times (\)$$

|| queste parti risponde a ix) e x)

Inoltre, sfruttando il fatto che $\underline{v}_C = \underline{0}$ si possono eliminare $\dot{\gamma}$, $\dot{\theta}$ e $\dot{\varphi}$ in f.m. degli angoli $\underline{\varphi}$ e loro derivate e dunque procedere con le sole variabili $\underline{\varphi}$. Dalle (*) abbiamo quindi 6 eq. diff nelle variabili $\underline{\varphi}$ e loro derivate e le componenti ${}^{e_2} F$ che sono 3.